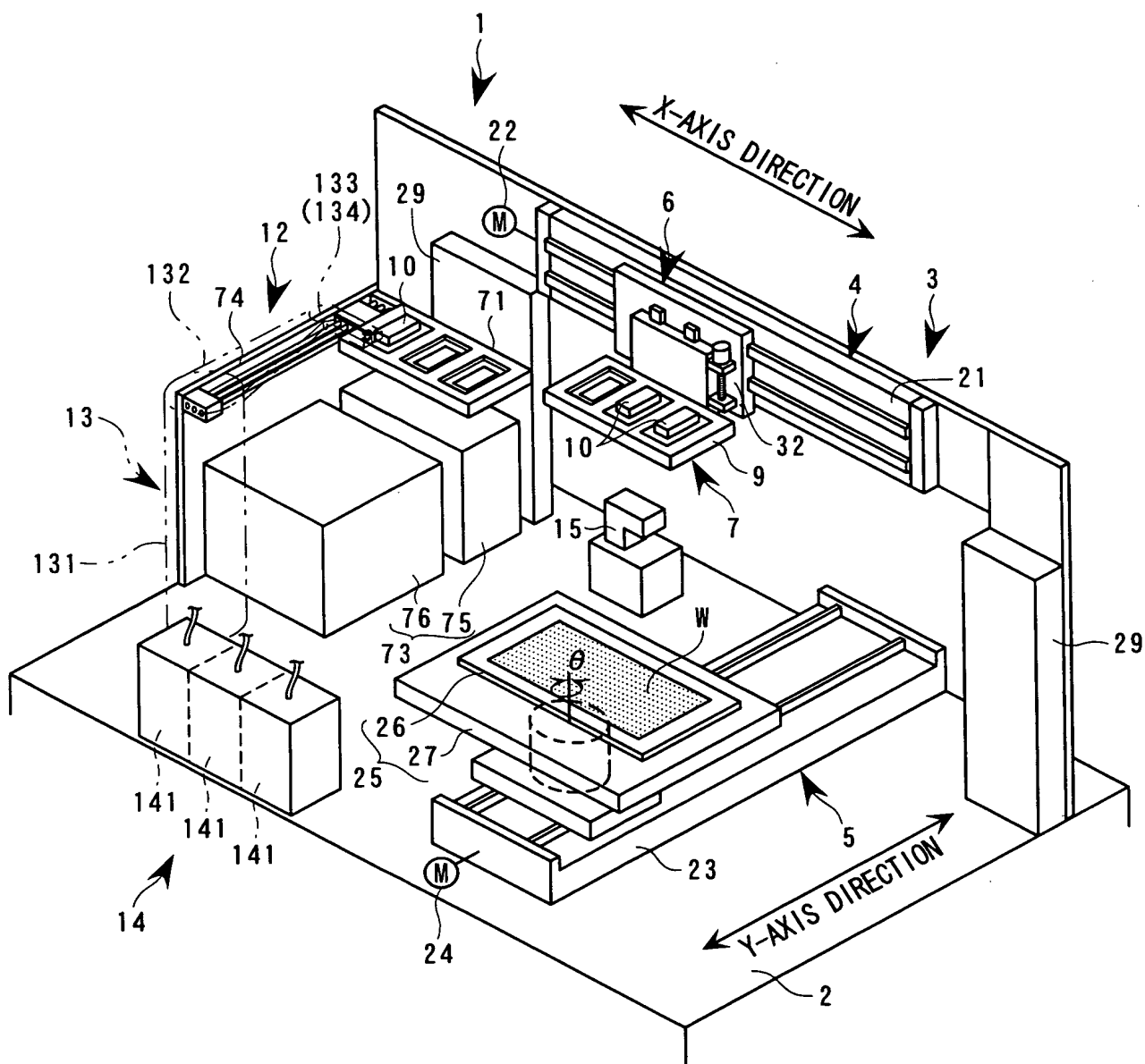
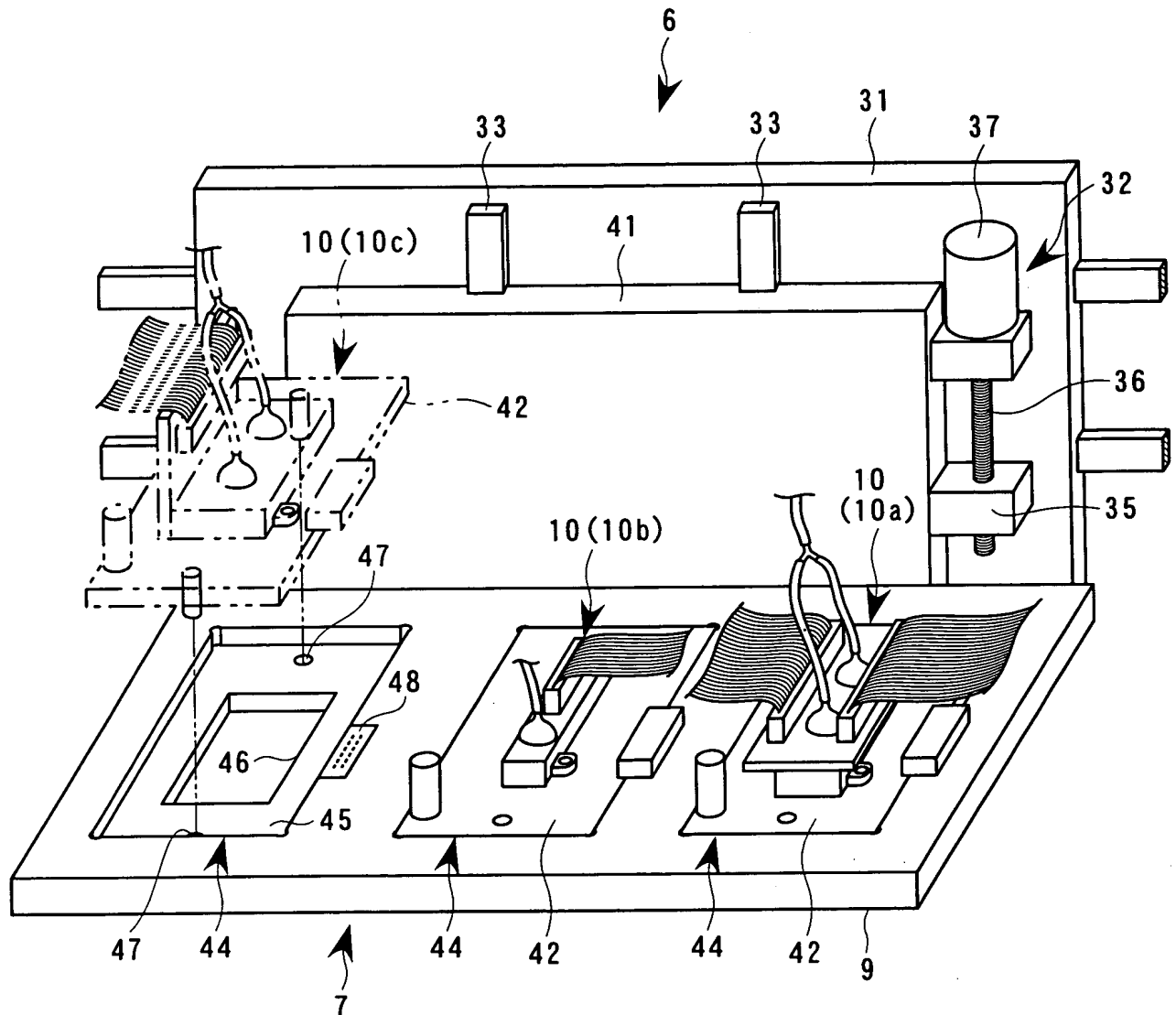
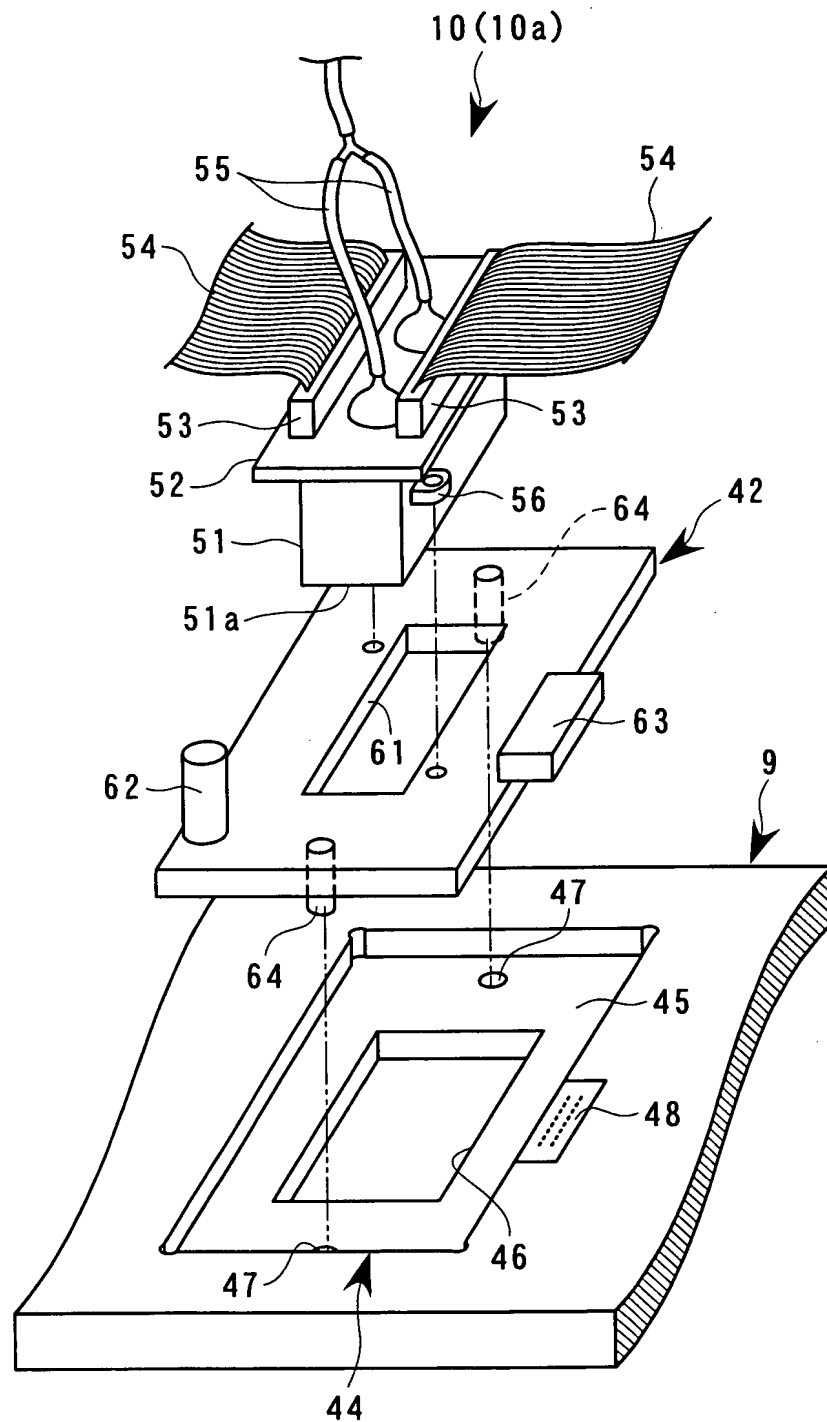


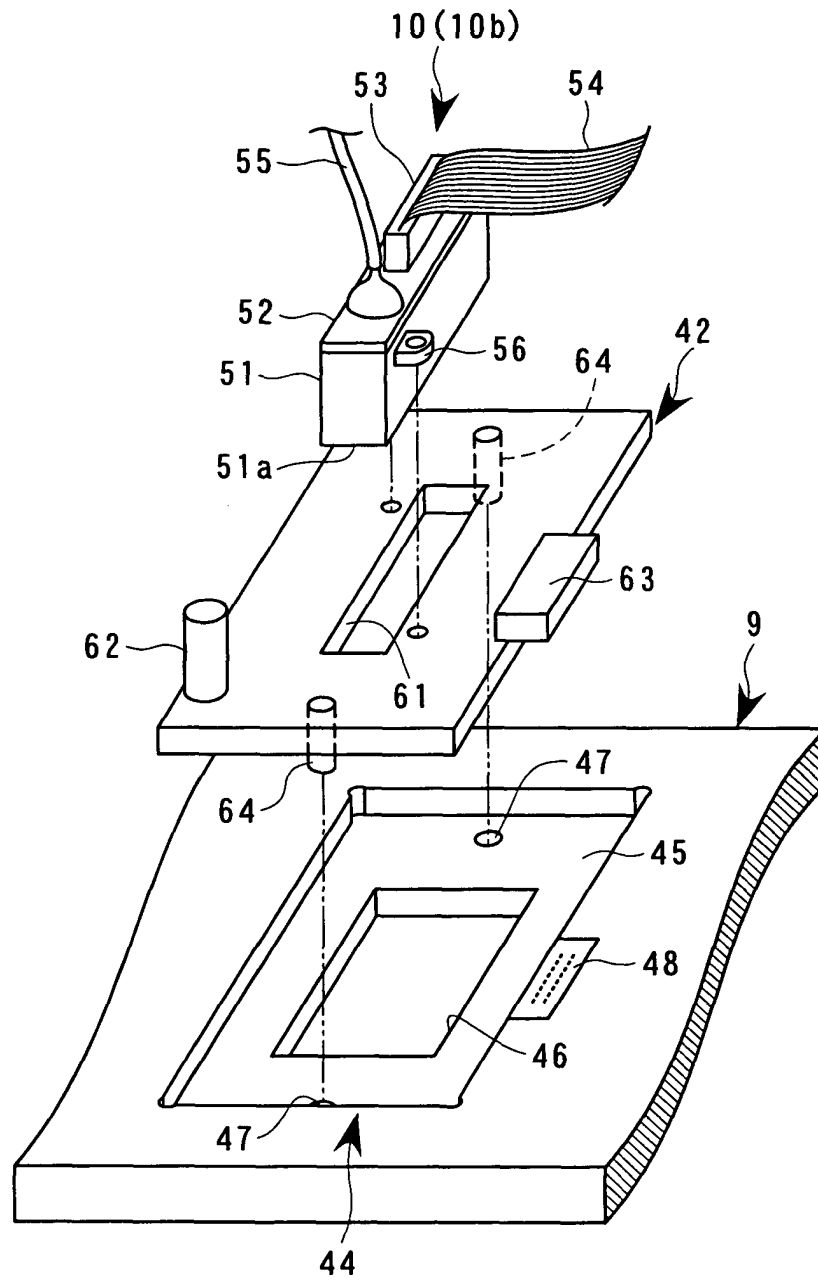
1/28

FIG. 1



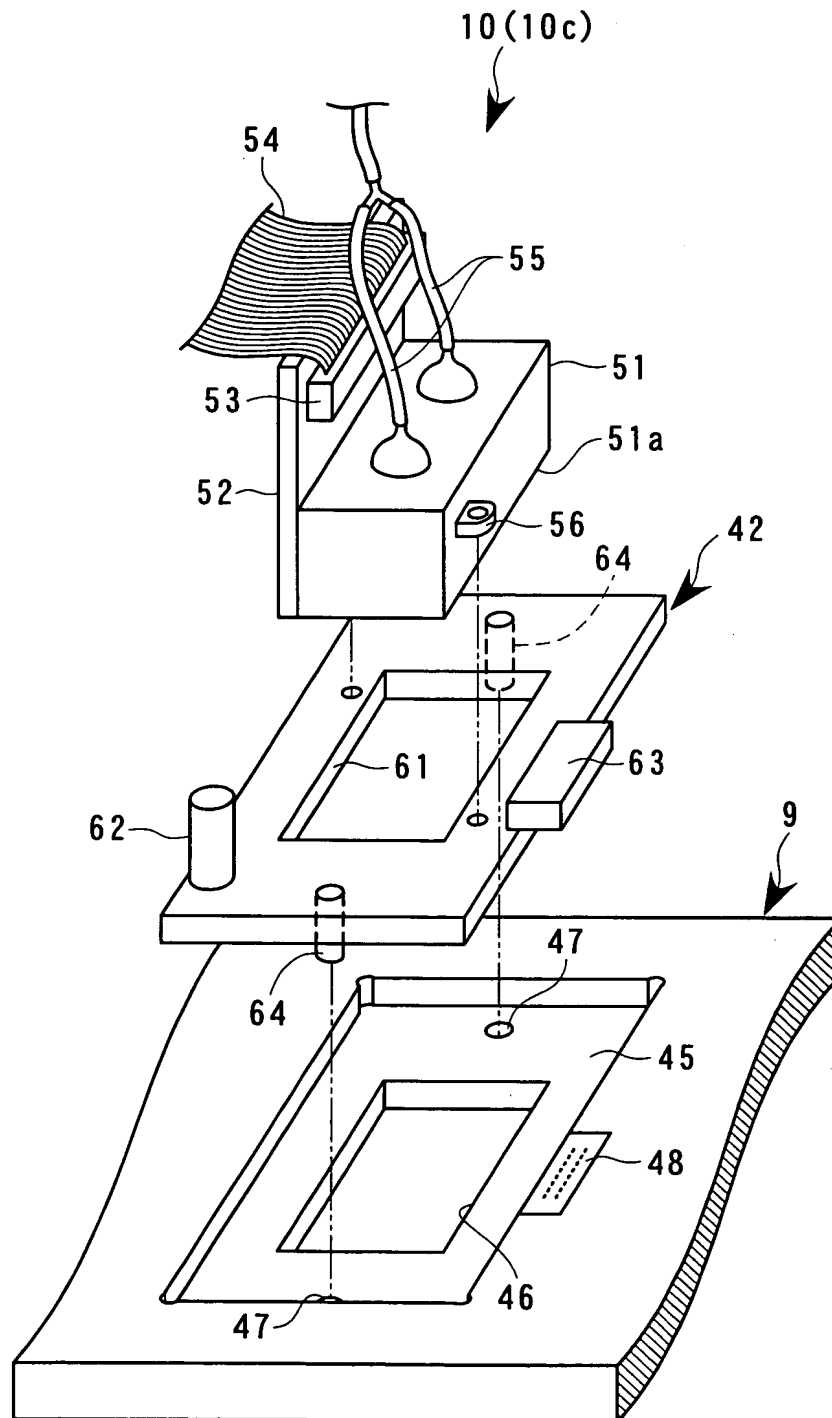






5/28

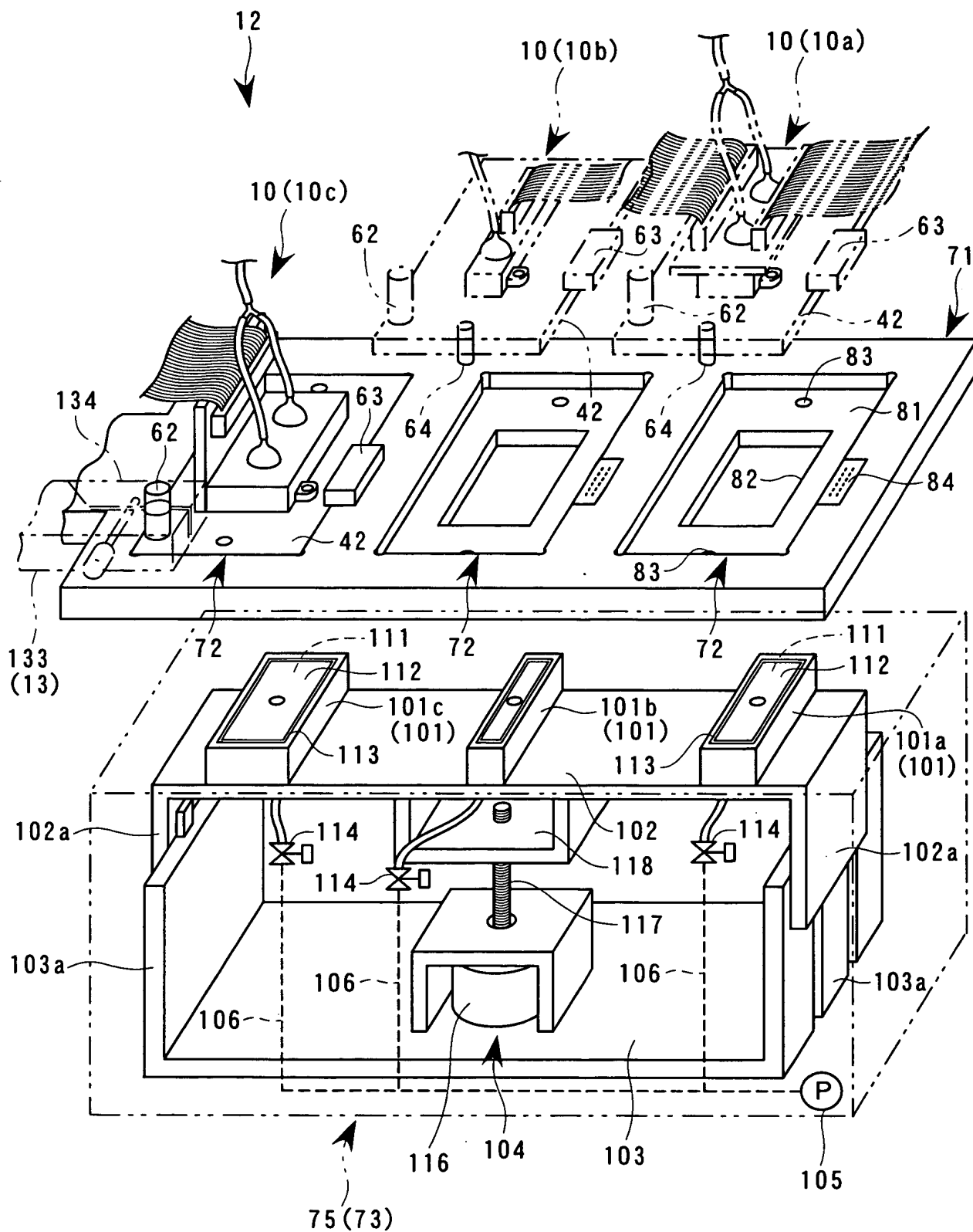
FIG. 5





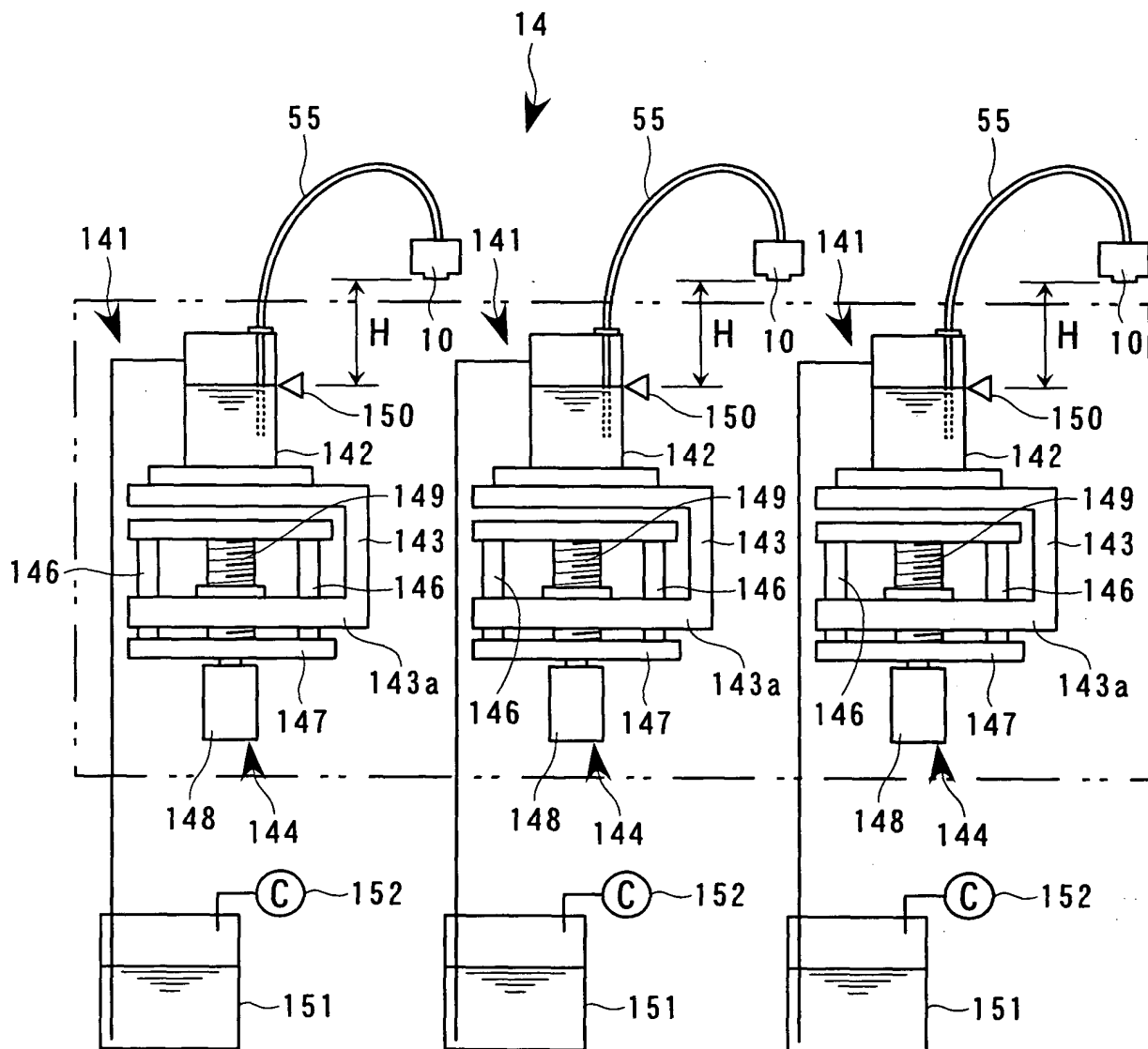
7/28

FIG. 7



8/28

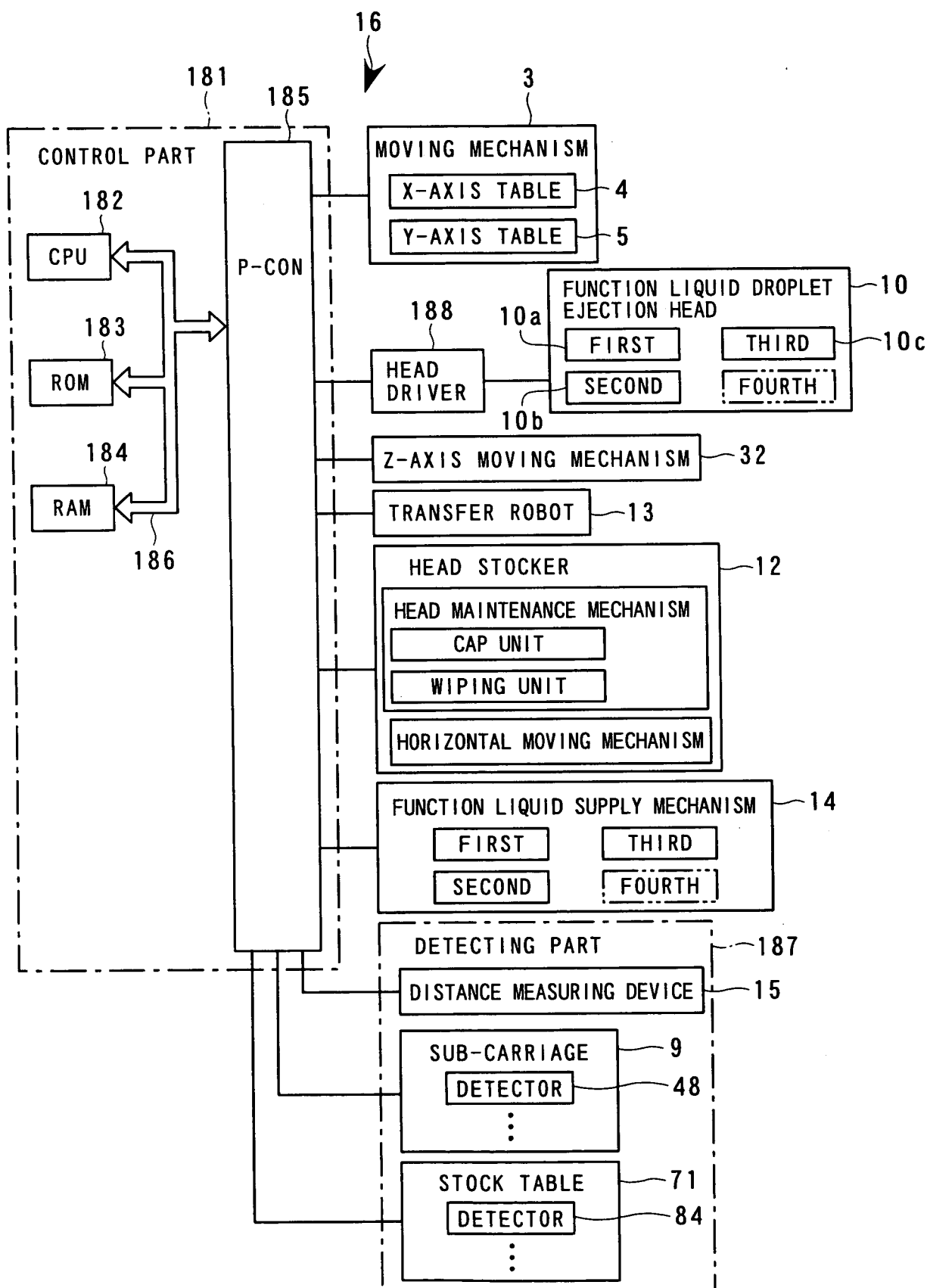
FIG. 8





9/28

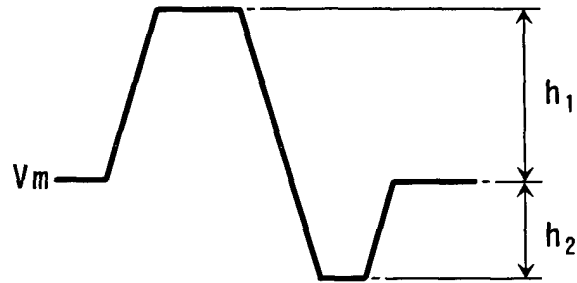
FIG. 9



10/28

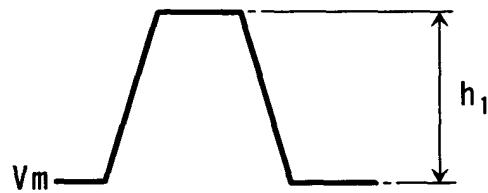
F I G. 1 0 A

EJECTION WAVEFORM



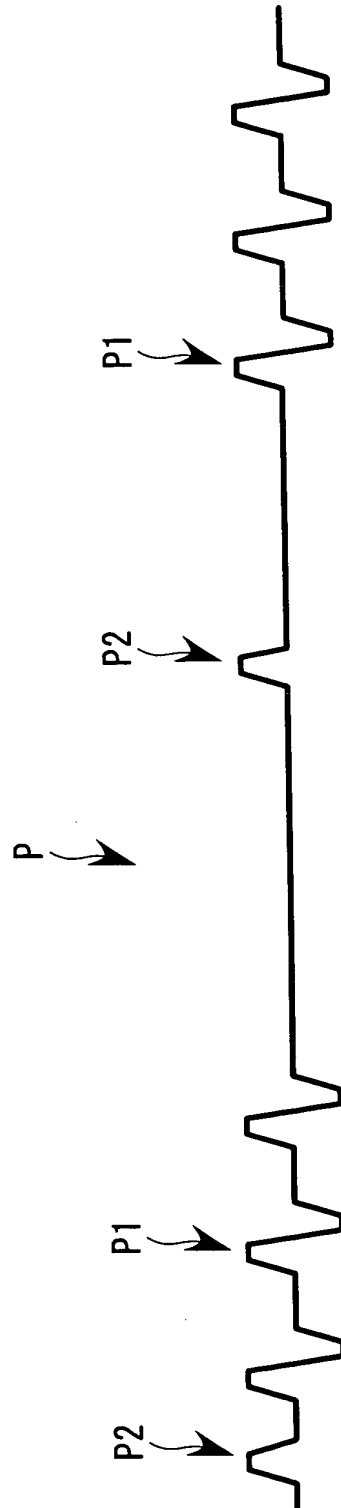
F I G. 1 0 B

FINE-VIBRATION WAVEFORM



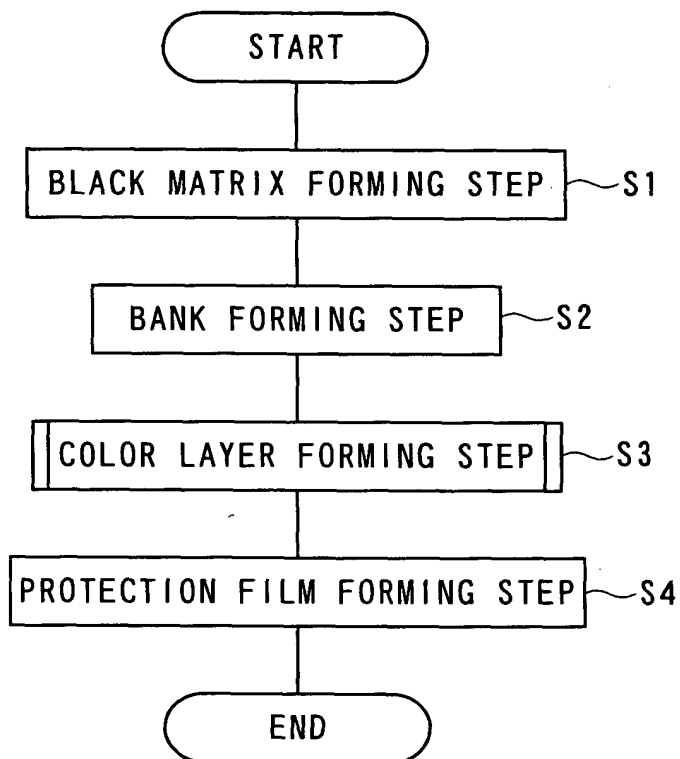
11/28

FIG. 11



12/28

FIG. 12



13/28

FIG. 13 A



FIG. 13 B

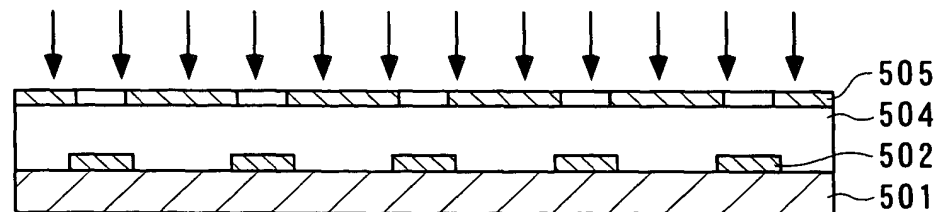


FIG. 13 C

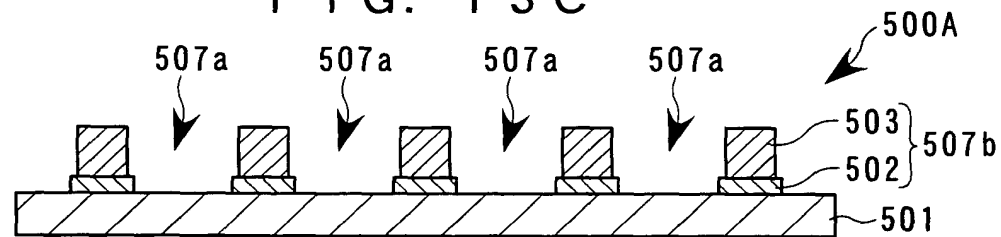


FIG. 13 D

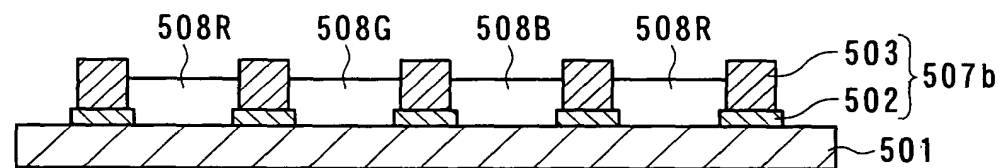


FIG. 13 E

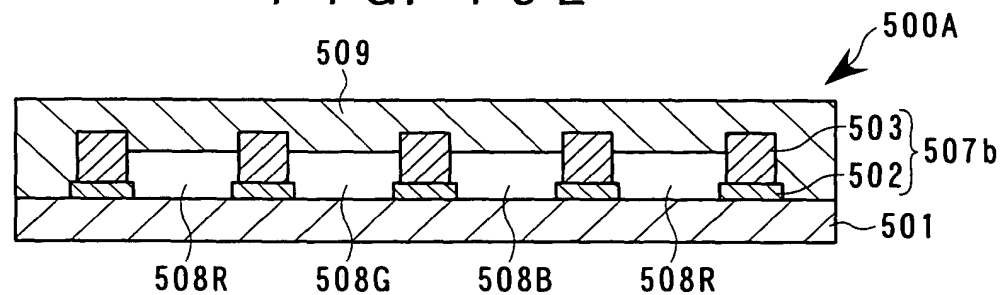


FIG. 14

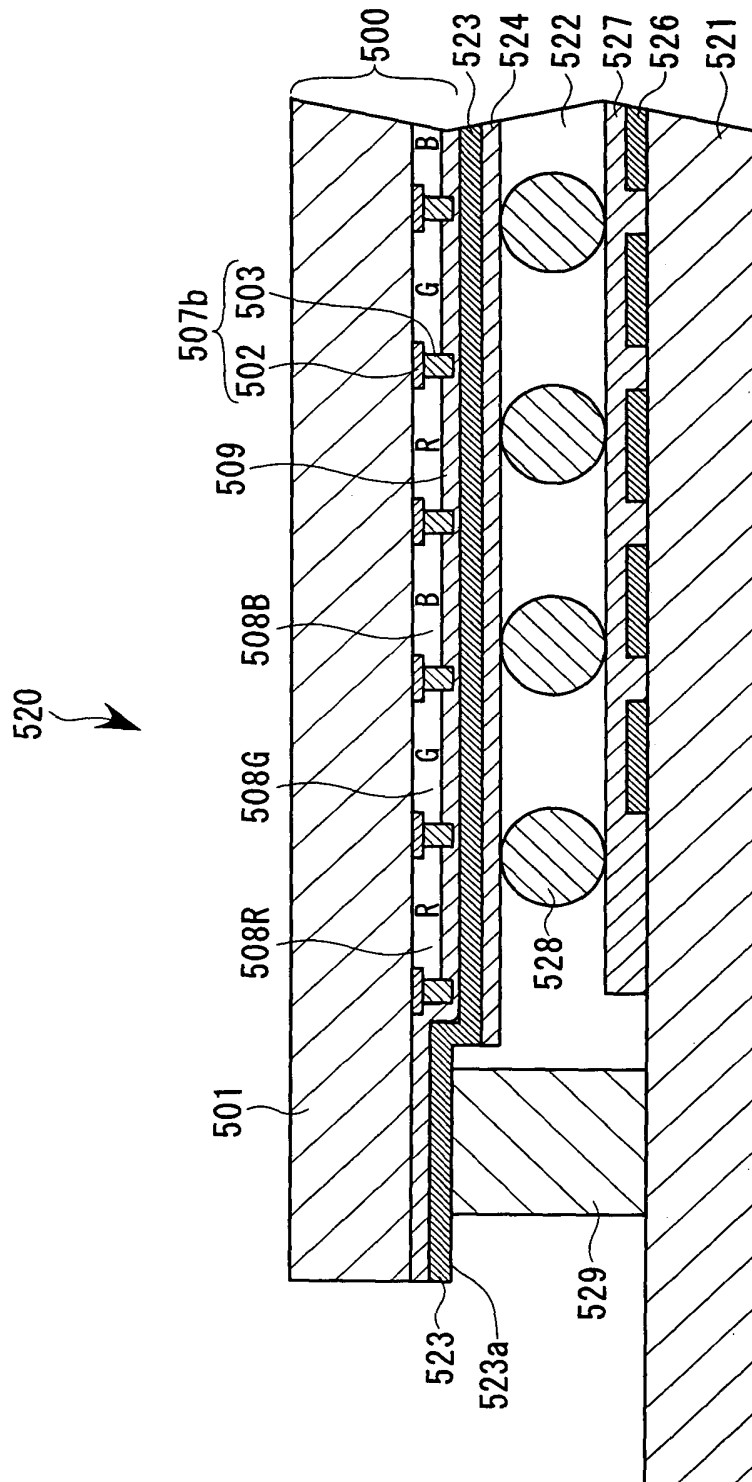
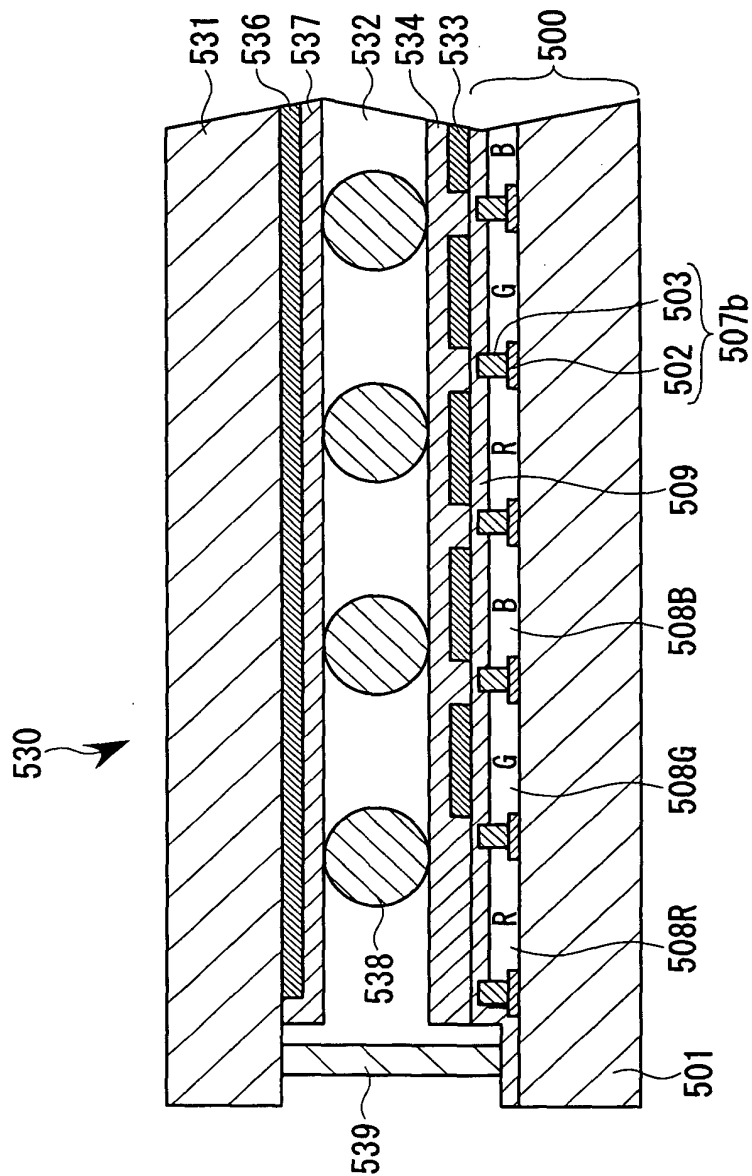
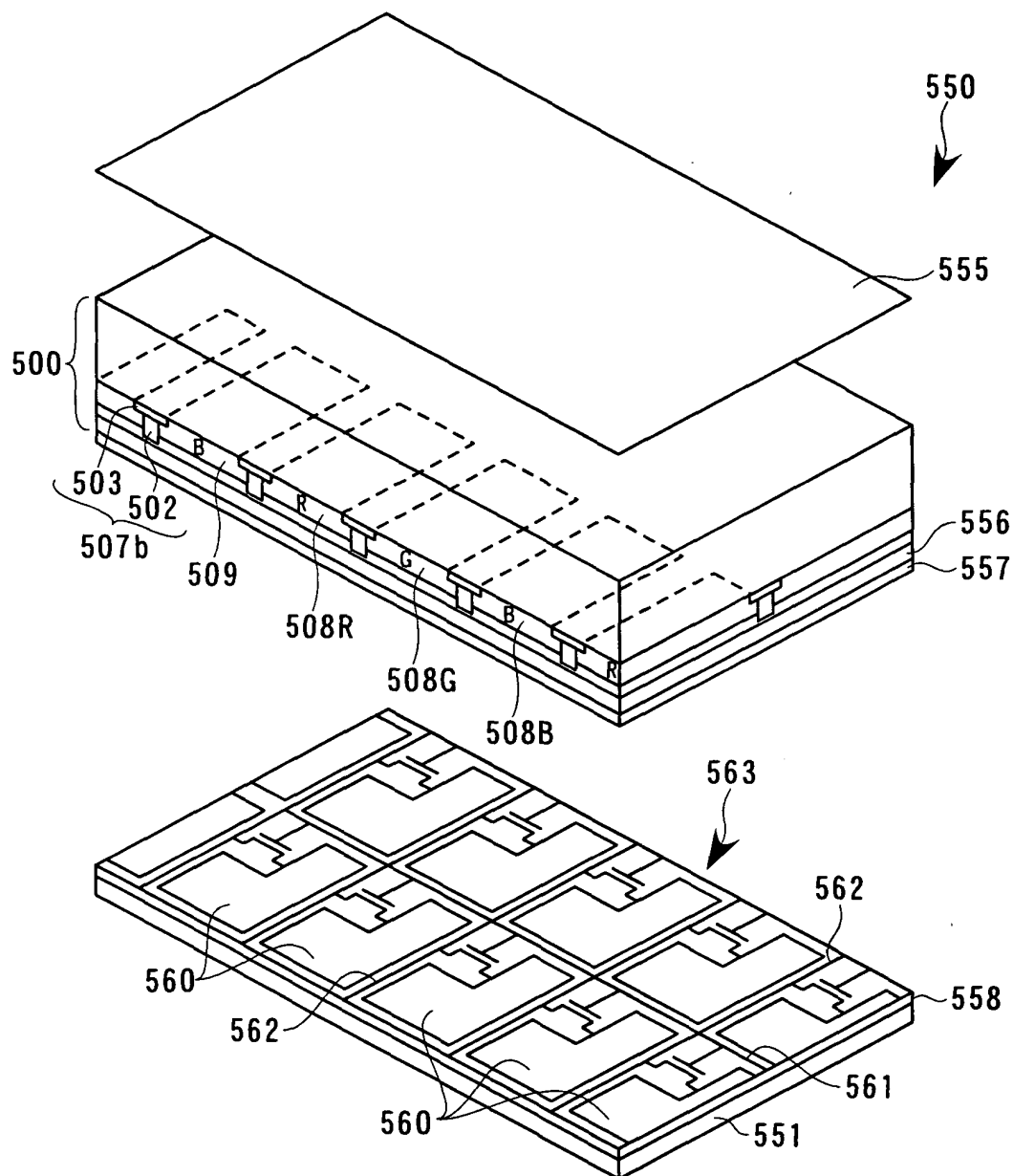


FIG. 15







[illegible]

18/28

FIG. 18

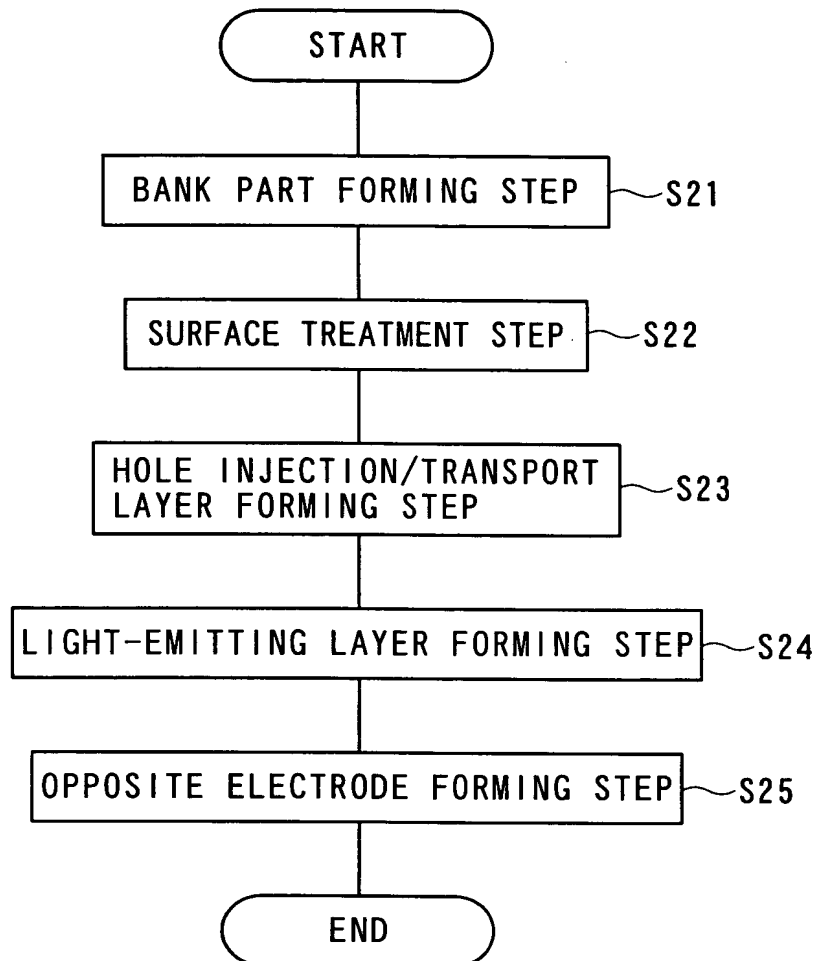


FIG. 19

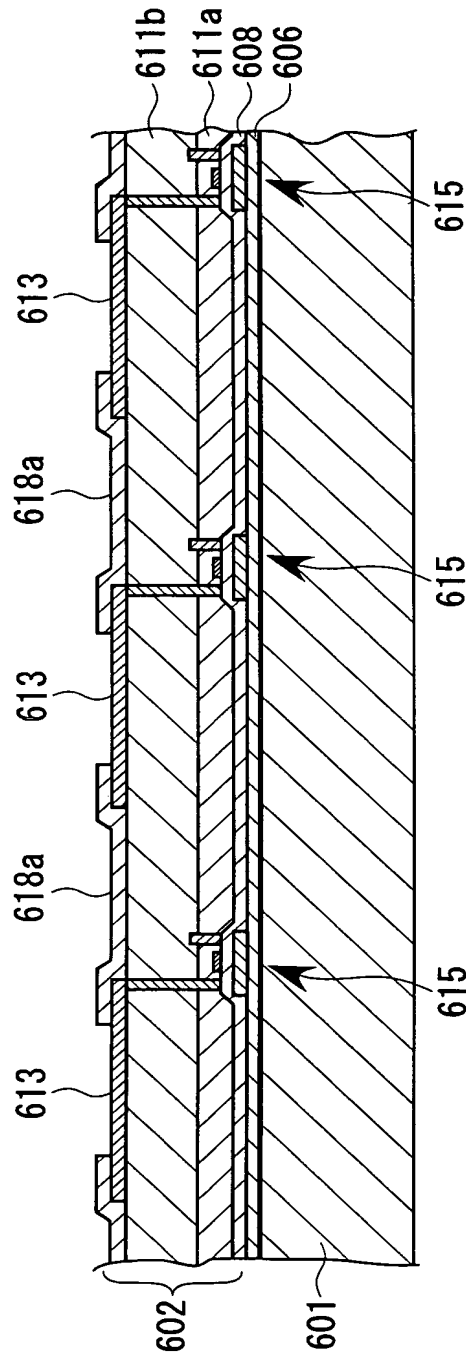


FIG. 20

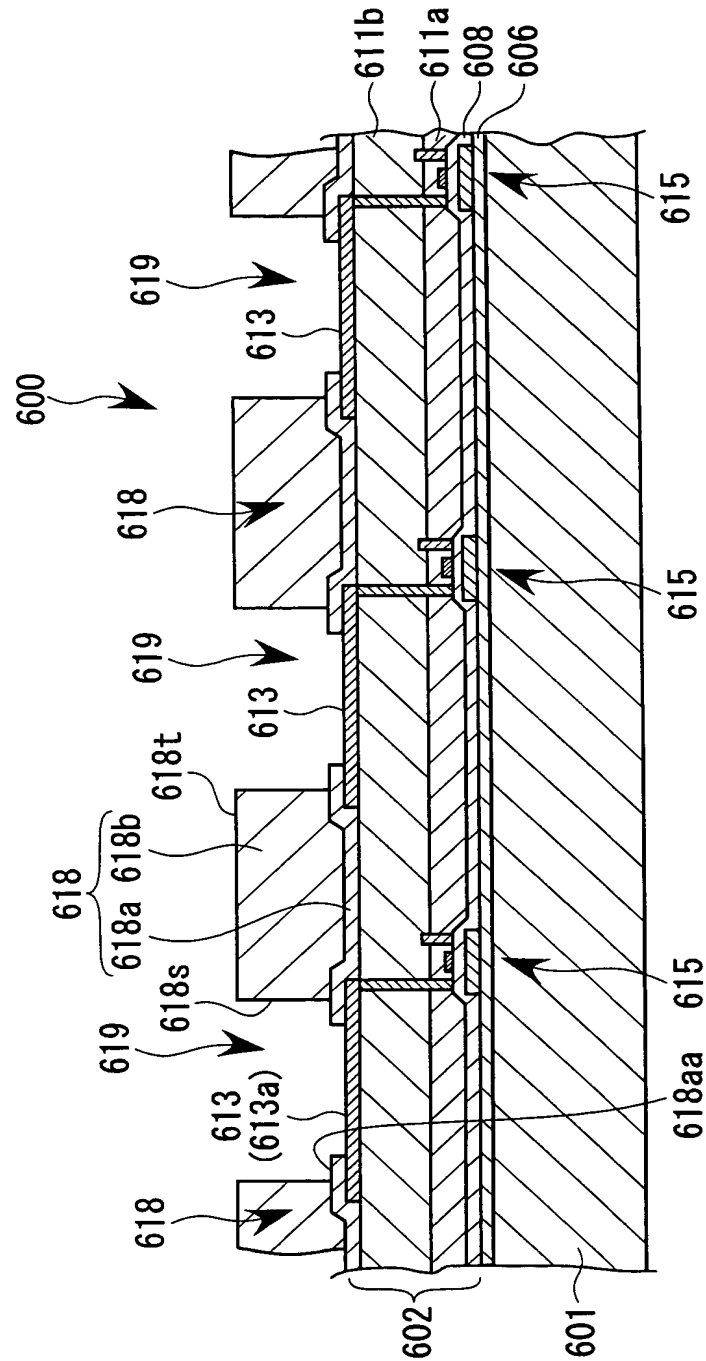




FIG. 22

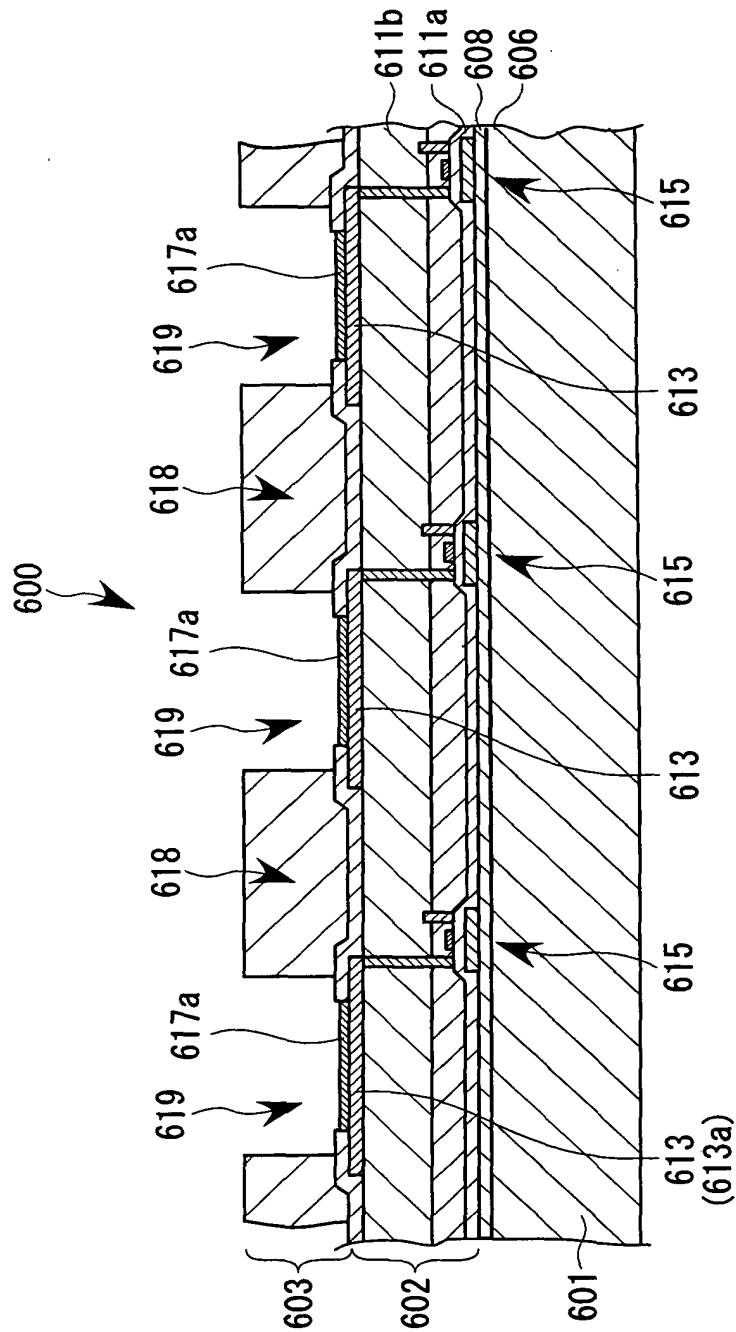








FIG. 25

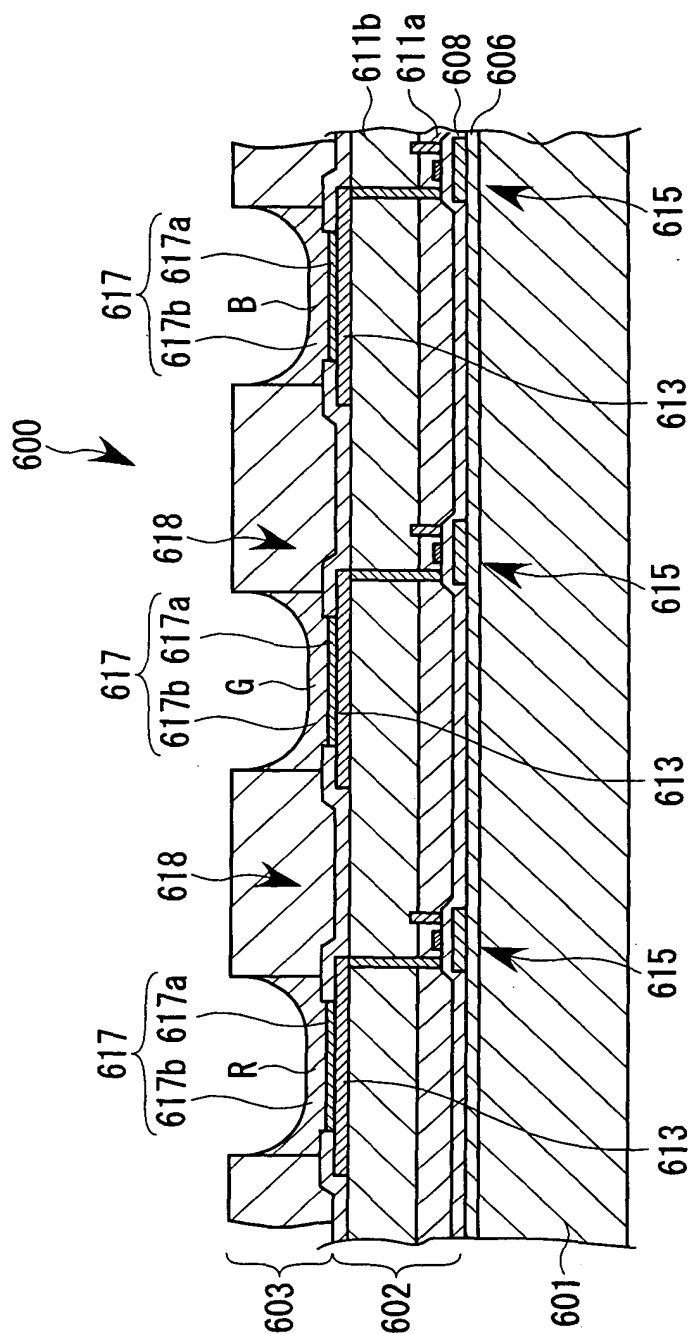
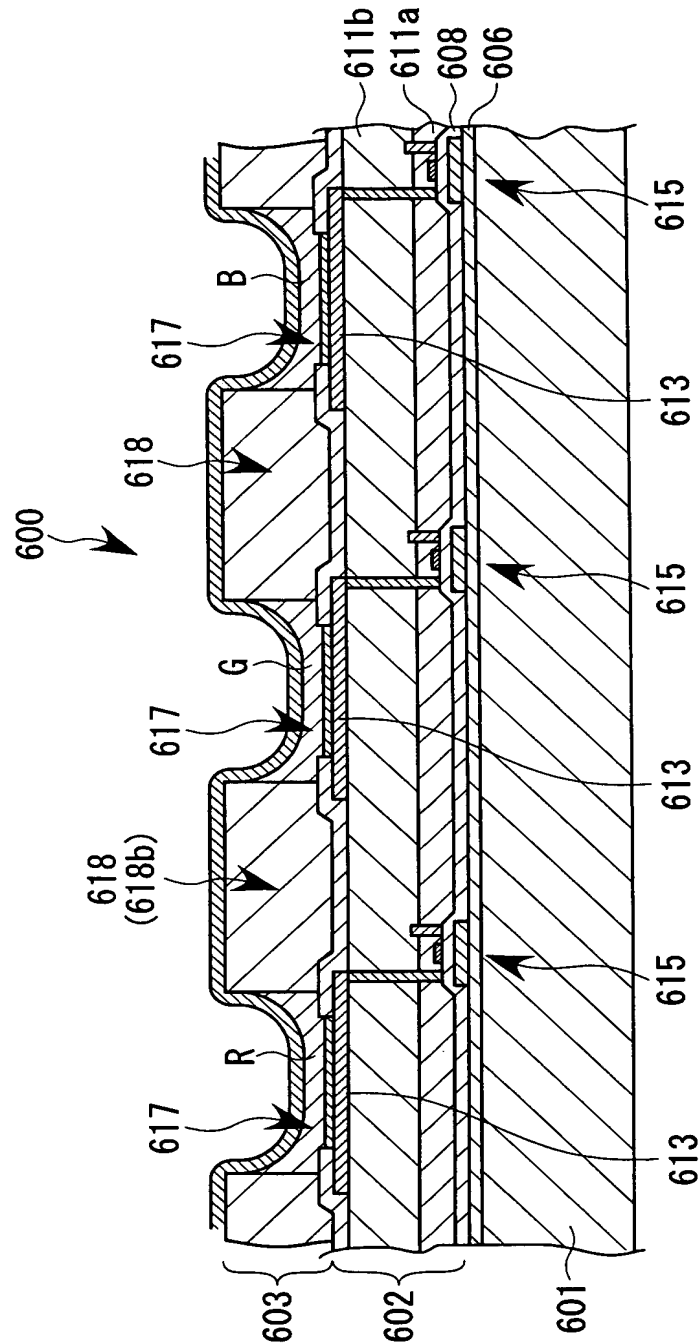


FIG. 26



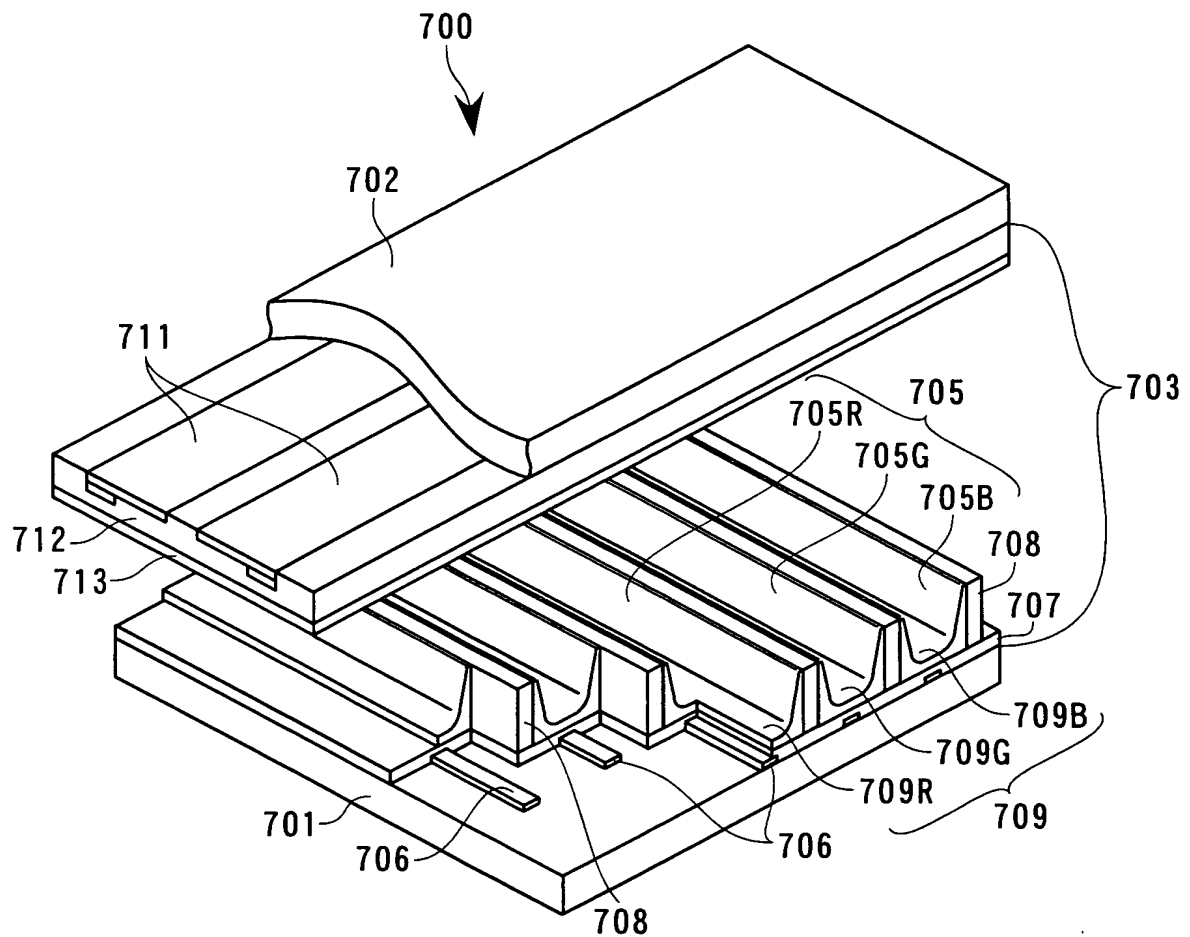


FIG. 28

